

# การศึกษาความผิดพลาดในการพยากรณ์กำลังไฟฟ้าของระบบเซลล์แสงอาทิตย์แบบเชื่อมต่อสายสั่ง ด้วยโครงข่ายประสาทเทียม โดยไม่ใช้ตัววัดรังสีดวงอาทิตย์

**Study of Error in Forecasting Power Output of PV Grid Connected System without using Solar Radiation Measurement**

GN022

ชานนท์ ชูพงษ์ และบุญชัย ปล่องกาน

ภาควิชาวิศวกรรมไฟฟ้า คณะวิศวกรรมศาสตร์มหาวิทยาลัยเทคโนโลยีราชมงคลอุปถัมภ์ ถนนรังสิต-นครนายก ตำบลคลองสอง อำเภอสามัญ จังหวัดปทุมธานี 12110 โทร 0-2549-3571 โทรสาร 0-2549-3422 E-mail: pboonyang@hotmail.com

## บทคัดย่อ

ระบบเซลล์แสงอาทิตย์ได้รับความนิยมเป็นอย่างมากในช่วงหลาปีที่ผ่านมา เนื่องจากเป็นพลังงานสะอาดไม่มีผลกระทบต่อสิ่งแวดล้อมและได้รับการพัฒนาอย่างต่อเนื่องมีความน่าเชื่อถือสูงขึ้น พร้อมทั้งราคาที่ลดลง แต่ข้อจำกัดอย่างหนึ่งของพลังงานแสงอาทิตย์คือ พลังงานจากแสงอาทิตย์นั้นมีความไม่แน่นอนเนื่องมาจากสภาพภูมิอากาศที่เปลี่ยนแปลง ซึ่งมีต่อเชื่อมเข้ากับระบบไฟฟ้าจะส่งผลกระทบต่อคุณภาพของระบบไฟฟ้าได้ เพื่อแก้ไขปัญหาดังกล่าวจึงมีงานวิจัยที่ข้ากับการพยากรณ์กำลังไฟฟ้าของระบบเซลล์แสงอาทิตย์ โดยในบทววนี้ได้นำเสนอการพยากรณ์กำลังไฟฟ้าของระบบเซลล์แสงอาทิตย์ด้วยโครงข่ายประสาทเทียมโดยไม่ใช้ตัววัดความเข้มรังสีดวงอาทิตย์ และ ให้ศึกษาถึงความผิดพลาดในการพยากรณ์โดยเปรียบเทียบผลการพยากรณ์ในช่วงฤดูหนาวที่ห้องฟ้าไปร่องและช่วงฤดูฝนที่ห้องฟ้ามีครึ่น โดยพบว่าในช่วงที่ห้องฟ้าไปร่องการพยากรณ์จะมีความแม่นยำมากกว่า ตัวนั้นจึงถือว่าเป็นข้อมูลช่วยคุณภาพการแผนงานในการพยากรณ์กำลังไฟฟ้าในระบบเซลล์แสงอาทิตย์

**คำสำคัญ:** การพยากรณ์กำลังไฟฟ้า, ระบบเซลล์แสงอาทิตย์, โครงข่ายประสาทเทียม

## Abstract

PV systems have been increasingly installed worldwide in recent years. Because it produces clean energy, moreover the development of technology is continued therefore the reliability is increasing and the price is decreasing in opposite. A significant limitation of PV system is the uncertainty of power from the sun. This will affect the quality of the electrical system that connected. To solve this problem, the PV power forecasting methods have been introduced recently. This paper will present a PV power output forecasting method by neural network without using solar radiation measurement. Then the

analysis and comparison of forecasting result in winter season with clear sky and rainy season with cloudy sky are investigated. We found that in the clear sky forecasting results are more accurate than cloudy sky. Therefore the forecasting application must be considered for this issue.

**Keywords:** Neural Network, PV Power Forecasting, Solar Radiation

## 1. บทนำ

ในช่วงหลาปีที่ผ่านมา มีการติดตั้งใช้งานระบบเซลล์แสงอาทิตย์เป็นจำนวนมาก เนื่องจากพลังงานแสงอาทิตย์เป็นพลังงานสะอาดที่ไม่ส่งผลกระทบต่อสิ่งแวดล้อมพร้อมทั้งมีการวิจัยและพัฒนาอย่างต่อเนื่องมีความน่าเชื่อถือสูงขึ้นพร้อมทั้งราคาที่ลดลงแต่ข้อจำกัดอย่างหนึ่งของพลังงานแสงอาทิตย์คือ พลังงานจากแสงอาทิตย์นั้นมีความไม่แน่นอนเนื่องมาจากการเปลี่ยนแปลง ความเข้มของรังสีดวงอาทิตย์ และสภาพภูมิอากาศ เช่น อุณหภูมิ สภาพเมฆบนห้องฟ้า ซึ่งเมื่อมีการต่อเชื่อมเข้ากับระบบไฟฟ้าการเปลี่ยนแปลงนี้จะส่งผลกระทบต่อเสถียรภาพของระบบไฟฟ้า [1]

ด้านนักการพยากรณ์กำลังไฟฟ้าของระบบเซลล์แสงอาทิตย์ซึ่งสามารถช่วยในการเพิ่มเสถียรภาพของระบบไฟฟ้าได้ โดยมีงานวิจัยที่กล่าวถึงการพยากรณ์ความเข้มรังสีทางอาทิตย์ [2] [3] ซึ่งยังไม่เพียงพอในการพยากรณ์กำลังไฟฟ้าของระบบเซลล์แสงอาทิตย์เนื่องจากกำลังไฟฟ้าของเซลล์แสงอาทิตย์ขึ้นอยู่กับการเปลี่ยนแปลงของอุณหภูมิอีกด้วย ด้านงานวิจัยที่มีการพยากรณ์กำลังไฟฟ้าของระบบเซลล์แสงอาทิตย์นั้น จำเป็นต้องมีการติดตั้งตัววัดความเข้มรังสีดวงอาทิตย์ [4]

ซึ่งในบทววนี้จะนำเสนอการพยากรณ์กำลังไฟฟ้าของระบบเซลล์แสงอาทิตย์โดยไม่ใช้ตัววัดความเข้มรังสีดวงอาทิตย์ วิธีการที่ใช้คือใช้การคำนวณความเข้มรังสีดวงอาทิตย์รายชั่วโมงของวันตัดไปที่กระทำบนระบบไฟฟ้า ข้อมูลพยากรณ์อากาศ อุณหภูมิสูงสุด อุณหภูมิต่ำสุด และสภาพเมฆบนห้องฟ้าในวันตัดไป ป้อนเข้าระบบโครงข่ายประสาทเทียม เพื่อพยากรณ์กำลังไฟฟ้ารายชั่วโมงที่ระบบเซลล์แสงอาทิตย์จะ

ผลิตได้ในวันดีปี [5] โดยได้ทดลองเปรียบเทียบในช่วงเวลาตุ่นนานที่ห้องที่แข็งไส และ ช่วงตุ่นนานที่ห้องฟื้นฟื้นคืน

$$t_d = 0.271 - 0.294r_b \quad (10)$$

$$t_r = 0.271 + 0.706r_b \quad (11)$$

## 2. กฎณู๊ที่เกี่ยวข้อง

### 2.1 การคำนวณความเข้มรังสีดวงอาทิตย์รวมบนระนาบใดๆ

ความเข้มรังสีดวงอาทิตย์รวมบนระนาบใดๆประกอบด้วย 3 องค์ประกอบดังสมการที่ 1

$$G_t = G_b + G_d + G_r \quad (1)$$

$G_b$	หมายถึง	ความเข้มรังสีดวงอาทิตย์รวม ( $\text{W/m}^2$ )
$G_d$	หมายถึง	ความเข้มรังสีตรง ( $\text{W/m}^2$ )
$G_s$	หมายถึง	ความเข้มรังสีกระเจา ( $\text{W/m}^2$ )
$G_r$	หมายถึง	ความเข้มรังสีสะท้อน ( $\text{W/m}^2$ )

โดยองค์ประกอบทั้ง 3 สามารถคำนวณได้จากสมการที่ 2 ถึง 4

$$G_b = G_o \cos \theta_s \quad (2)$$

$$G_d = G_o \cos \theta_z - td \frac{(1 + \cos \beta)}{2} \quad (3)$$

$$G_r = \rho G_o \cos \theta_z - tr \frac{(1 + \cos \beta)}{2} \quad (4)$$

โดย  $G_o$  หมายถึง รังสีดวงอาทิตย์บนบรรยากาศโลก ( $\text{W/m}^2$ ) ซึ่งคำนวณได้จากสมการที่ 5

$$G_o = G_s \left[ 1 + 0.033 \cos \left( 360 \frac{D}{365} \right) \right] \quad (5)$$

$G_s$  หมายถึง ค่าก่อที่ศูนย์ ซึ่งมีค่า  $1367 \text{ W/m}^2$  [6]

$D$  หมายถึง วันที่ในปีหน้า (1-365)

$t_s$ ,  $td$ ,  $tr$  หมายถึง ค่าความนำของแสงบนบรรยากาศสำหรับรังสีตรง, รังสีกระเจาและรังสีสะท้อนตามลำดับ ซึ่งสามารถคำนวณได้จากสมการที่ 4 ถึง 7 [5]

$\rho$  หมายถึง สัมประสิทธิ์การสะท้อนแสงของพื้น

$$t_b = a_0 + a_1 e^{-\left(\frac{k}{\cos \theta_s}\right)} \quad (6)$$

(7)

$$a_0 = r_0 [0.4237 - 0.0082(6 - A)^2] \quad (7)$$

$$a_1 = r_1 [0.5055 - 0.00595(6.5 - A)^2] \quad (8)$$

$$k = r_k [0.2711 + 0.01858(2.5 - A)^2] \quad (9)$$

โดยที่

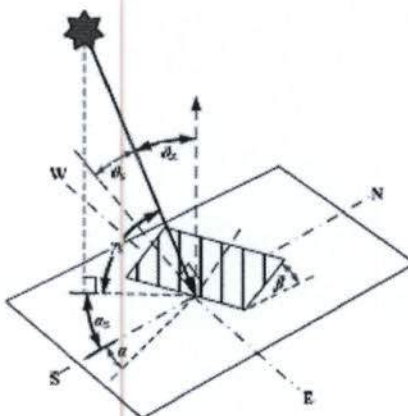
โดย A คือ ความสูงจากระดับน้ำทะเลของจุดที่ติดตั้งระบบ (กิโลเมตร)

$r_0$ ,  $r_1$  และ  $r_k$  มีค่าตามตารางที่ 1 ดังนี้

ตารางที่ 1 ค่าตัวประกอบปรับแก้สำหรับภูมิภาคต่างๆ

Climate Type	r0	r1	rk
Tropical	0.95	0.98	1.02
Midlatitude summer	0.97	0.99	1.02
Subarctic summer	0.99	0.99	1.01
Midlatitude winter	1.03	1.01	1.00

จากสมการที่ 3 และ 4  $\theta_s$  คือมุมเชนิท (Zenith Angle) และ  $\theta_z$  คือมุมที่รังสีดวงอาทิตย์กระทบบนแผง รายละเอียดดังรูปที่ 1 สามารถคำนวณได้ด้วยสมการที่ 12 และ 13 และ  $\beta$  คือมุมเอียงของแผงที่ติดตั้งวัดจากพื้นจนถึง



รูปที่ 1 มุมต่างๆในการติดตั้งที่ใช้คำนวณ [5]

$$\cos \theta_z = \cos \delta \cos \phi \cos \omega + \sin \delta \sin \phi \quad (12)$$

$$\begin{aligned} \cos \theta_s = & \sin \delta \sin \phi \cos \beta - \sin \delta \cos \phi \sin \beta \cos \alpha \\ & + \cos \delta \cos \phi \cos \beta \cos \alpha \\ & + \cos \delta \sin \phi \sin \beta \cos \alpha \cos \beta \\ & + \cos \delta \sin \alpha \sin \omega \sin \beta \quad (13) \end{aligned}$$

โดยที่  $\delta$  หมายถึงมุมที่ลำแสงจากดวงอาทิตย์กระทบทำกับเส้นศูนย์สูตรของโลก (Declination angle)

$\phi$  หมายถึงตำแหน่งจะติดตั้งของสถานที่ติดตั้งระบบเซลล์แสงอาทิตย์

- $\omega$  หมายถึงมุมชี้ไว้ทางของดวงอาทิตย์ [6]  
 $\alpha$  หมายถึงมุมของรัศมุกของการคิดด้วยแพง (Azimuth angle)

$$\delta = 23.45 \sin \left[ 360 \frac{(D+284)}{365} \right] \quad (14)$$

$$\omega = 15(12 - ST) \quad (15)$$

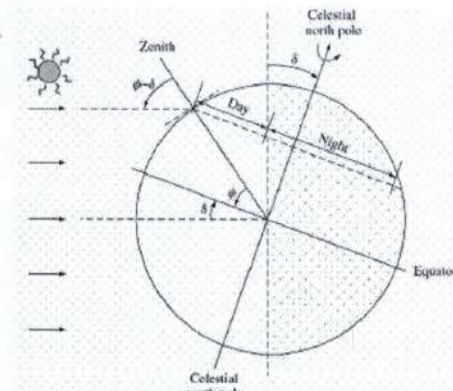
โดยที่

$$ST = LST + 4(Ls - Lloc) + Et \quad (16)$$

- ST หมายถึง เวลาของดวงอาทิตย์ (ชม, นาที)  
LST หมายถึง เวลาตามมาตรฐานท้องถิ่น (ชม, นาที)  
Ls หมายถึง เส้นลองศูนย์มาตรฐานที่ใช้สำหรับจังหวัดท้องถิ่นนั้น (องศา)  
Lloc หมายถึง เส้นลองศูนย์ของตำแหน่งที่ตั้ง (องศา)  
Et หมายถึง ค่าปรับแก้เวลาจริงกับเวลาของดวงอาทิตย์ (นาที)

$$Et = 229.1831(0.000075 + 0.001868 \cos \theta - 0.032077 \sin \theta - 0.014615 \cos 2\theta - 0.040849 \sin 2\theta) \quad (17)$$

$$\theta = 360 \frac{(D-1)}{365} \quad (18)$$



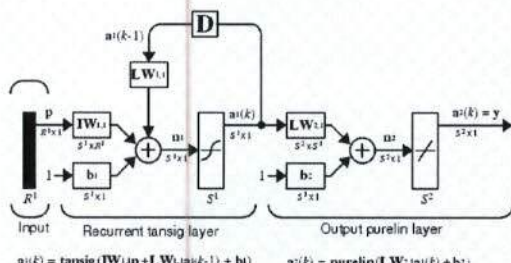
รูปที่ 2 มุม Declination และ มุม Zenith [5]

ซึ่งสมการ 1-18 นั้นสามารถใช้คำนวณรังสีรวมของดวงอาทิตย์ที่กระบวนการบรรnananicaidaได้ในสภาวะที่ห้องฟ้าแจ้งในสีเทาเท่านั้น [5] ดังนั้นเพื่อให้สามารถใช้งานได้ในสภาวะจริงจะต้องนำสภาพทางภูมิอากาศมาเก็บข้อมูลด้วย

## 2.2 โครงข่ายประสาทเทียมแบบ Recurrent

โครงข่ายประสาทเทียมแบบ Recurrent ที่ใช้นี้เป็นชนิด Elman ซึ่งมีลักษณะคล้ายกับโครงข่ายประสาทเทียมที่ว่าไปเพื่อแต่มีการป้อนค่า Output ของขั้นตอนก่อนมาคำนวณในรอบด้วย ทำให้ Output ของ

โครงข่ายประสาทเทียมที่รอบได้ขึ้นอยู่กับ Output ในรอบที่ผ่านมาด้วย ด้วยคุณสมบัตินี้ โครงข่ายประสาทเทียมจะสามารถจดจำข้อมูลในลักษณะที่เป็นลำดับเหตุการณ์ได้ [4-5]



รูปที่ 3 Elman Neural Network

## 3. วิธีการพยากรณ์ที่นำเสนอด้วย

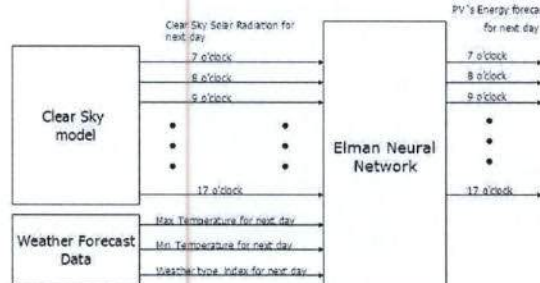
วิธีการที่นำเสนอนี้คือการใช้โครงข่ายประสาทเทียมในการพยากรณ์โดยนี่ Input 14 คัวได้แก่ ค่าความเข้มรังสีดวงอาทิตย์ทั่วไปของวันเดียวไปจนถึงวันเดียวกันในวันถัดไป ตั้งแต่วาง 7:00 น. ถึง 17:00 น. (จำนวน 11 ค่า) ข้อมูลจากการพยากรณ์อากาศจำนวน 3 ค่า คือ อุณหภูมิสูงสุดของวันเดียวไป, อุณหภูมิค่าสุดของวันเดียวไป, สภาพฟ้าที่ของวันเดียวไป

โดยข้อมูลสภาพฟ้าของวันเดียวไปในการทดสอบนี้ได้มีการกำหนดเป็นค่าตั้งค้าง

## ตารางที่ 2 การกำหนดค่าสภาพฟ้า

การพยากรณ์อากาศ	ค่าตั้งค้างฟ้า
ฟ้า万里ใสเมฆมาก	0.9
เมฆเป็นส่วนมาก	0.6
ฟุ่มฟุ้ม	0.3

และ Output ที่ได้จากโครงข่ายประสาทเทียมคือค่ากำลังไฟฟ้า (kW) รายชั่วโมงที่ผลิตได้ของระบบเซลล์แสงอาทิตย์ตั้งแต่เวลา 7:00 น. ถึง 17:00 น.

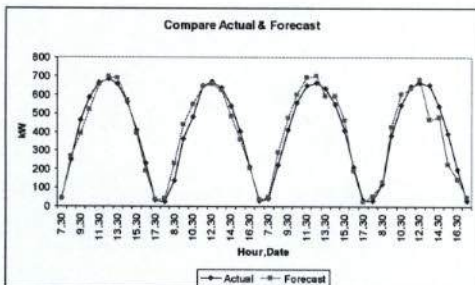


รูปที่ 4 โครงสร้างของวิธีการพยากรณ์ที่นำเสนอด้วย

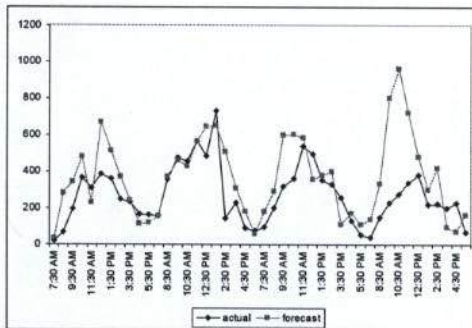
#### 4. การทดสอบและการทดลอง

ได้ทำการสร้างและฝึกสอนโครงข่ายประสาทเทียมด้วยโปรแกรม MATLAB โดยใช้ข้อมูลในช่วง 17-23 มกราคม 2554 และในช่วง 17-23 มิถุนายน 2554 แล้วนำข้อมูลอิฐหุดหนี่มาทำการทดสอบโครงข่ายประสาทเทียมโดยเป็นข้อมูลระหว่างวันที่ 31 มกราคม ถึง 3 กุมภาพันธ์ 2554 และ 27-30 มิถุนายน 2554 นำค่าพยากรณ์กำลังไฟฟ้าของระบบเซลล์แสงอาทิตย์ที่ได้นี้ มาเปรียบเทียบกับค่าจริงที่บันทึกไว้ของระบบเซลล์แสงอาทิตย์ แล้วคำนวณค่าความผิดพลาดเฉลี่ย Mean Absolute Percentage Error (MAPE) ตามสมการที่ 19 ซึ่งในการทดสอบนี้ได้ค่า MAPE เท่ากับ 16.83% สำหรับช่วงฤดูหนาว (31 มกราคม ถึง 3 กุมภาพันธ์) และ 57.33% สำหรับช่วงฤดูฝน (27-30 มิถุนายน)

$$MAPE = \frac{100}{N} \sum_{i=1}^N \frac{|P_f^i - P_a^i|}{P_a^i} \% \quad (19)$$



รูปที่ 5 เปรียบเทียบกำลังไฟฟ้าจริง กับ กำลังไฟฟ้าจากการพยากรณ์ ในช่วงฤดูหนาว



รูปที่ 6 เปรียบเทียบกำลังไฟฟ้าจริง กับ กำลังไฟฟ้าจากการพยากรณ์ ในช่วงฤดูฝน

#### 5. สรุป

การพยากรณ์กำลังไฟฟ้าของระบบเซลล์แสงอาทิตย์โดยใช้การคำนวณความเข้มรังสีรวมของดวงอาทิตย์ในสภาวะท้องฟ้าแจ่มใส และ ข้อมูลการพยากรณ์อากาศเป็นข้อมูล Input ให้กับโครงข่ายประสาทเทียมแบบ Elman แทนการใช้ตัวแปรความเข้มรังสีดวงอาทิตย์

เมื่อทำการทดลองเบริกน์ที่บันในช่วงเวลาฤดูหนาวซึ่งท้องฟ้าไปร่อง กับ ในช่วงเวลาฤดูฝนที่ท้องฟ้ามีเมฆครึ่นพบร่วมกับในช่วงฤดูหนาวมีความผิดพลาด 16.83% และในช่วงฤดูฝนมีความผิดพลาด 57.33% เนื่องจากในช่วงฤดูฝนที่เก็บข้อมูลท้องฟ้ามีเมฆครึ่นกระชาญทั่วท้องฟ้า เป็นผลให้ความเข้มรังสีดวงอาทิตย์ที่ต้องการแมลงเซลล์แสงอาทิตย์นี้ ต่ำไม่สม่ำเสมอทำให้โครงข่ายประสาทเทียมพยากรณ์ผิดพลาด ดังนั้น สามารถสรุปได้ว่าวิธีการที่นำเสนอเป็นสามารถประยุกต์ใช้ได้ในช่วงเวลาที่ท้องฟ้าไปร่องท่ามั้น ดังนั้นจึงต้องนำข้อมูลช่วงฤดูหนาวมาพิจารณาเสนอในการพยากรณ์กำลังไฟฟ้าในระบบเซลล์แสงอาทิตย์

#### เอกสารอ้างอิง

- [1] A. Woyte, V. Van Thong, R. Belmans, and J. Nijs, "Voltage fluctuations on distribution level introduced by photovoltaic systems," IEEE Trans. on Energy Conversion, vol. 21, pp. 202-209, 2006.
- [2] E. Lorenz, J. Hurka, D. Heinemann, and H. G. Beyer, "Irradiance Forecasting for the Power Prediction of Grid-Connected Photovoltaic Systems," IEEE Journal of Selected Topics in Applied Earth Observations and Remote Sensing, vol. 2, pp. 2-10, 2009.
- [3] Mellit A., Arab A.H., Khorissi N., Salhi H, "an ANIF based forecasting for solar radiation data from sunshine duration and ambient temperature," Power Engineering Society General Meeting,2007 IEEE Digital Object Identifier 10.1109/PES.2007.38631 Publication Year: 2007, Page(s): 1 – 6
- [4] A. Yona, T. Senju, and T. Funabashi, "Application of recurrent neural network to short-term-ahead generating power forecasting for photovoltaic system," 2007 IEEE Power Engineering Society General Meeting, Vols 1-10, pp. 3659-3664, 2007
- [5] Cai Tao, Duan Shanxu and Chen Changsong, "Forecasting Power Output for Grid-Connected Photovoltaic Power System without using Solar Radiation Measurement" Power Electronics for Distributed Generation Systems (PEDG), 2010 2nd IEEE International Symposium on Digital Object Identifier: 10.1109/PEDG.2010.5545754 Publication Year: 2010 , Page(s): 773 – 777
- [6] กรมพัฒนาพลังงานทดแทนและอนุรักษ์พลังงาน ร่วมกับ ภาควิชา พลังงาน คณะวิทยาศาสตร์ มหาวิทยาลัยศิลปากร, "คู่มือข้อมูล มาตรฐานด้านภูมิอากาศและแสงอาทิตย์สำหรับใช้งานด้านพลังงานทดแทน"